FOLHA SE.21-V-B-II

GREENWICH

CARTA DE ANOMALIAS
FOLHA SE.21-V-B-II
ESCALA 1:100.000 - SGB/CPRM, 2022

AEROGAMAESPECTROMETRIA – IMAGEM DE COMPOSIÇÃO TERNÁRIA RGB COM FUSÃO SRTM (K-eTh-eU)

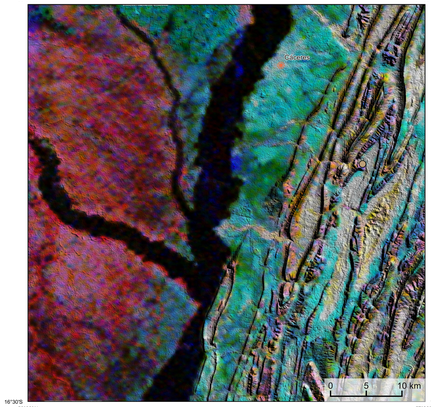

Mostra a variação das concentrações relativas dos três radioelementos relacionando-os com as cores vermelho (R-red) (K,%), verde (G-green) (eTh, ppm) e azul (B-blue)(eU, ppm). O espectro de cores varia desde o branco, quando coincidente as máximas concentrações relativas nos três radioelementos, até o preto, para os mínimos teores relativos.

AEROMAGNETOMETRIA - PRODUTO COM FUSÃO SRTM E DECONVOLUÇÃO DE EULER

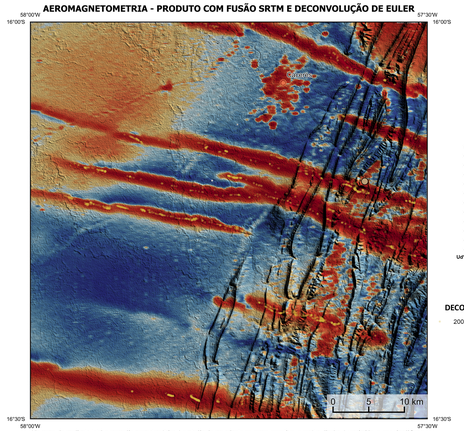

No mapa de gradiente total a anomalia magnetométrica é centralizada em relação ao corpo causativo, o caráter dipolar é suprimido, o que simplifica a interpretação. Todavia, dimensões horizontais na anomalia em relação ao corpo causativo são extrapoladas. Recomendase a utilização deste produto para realçar a distribuição de rochas mineiras magnéticas na área, e também como forma de simplificar a interpretação dos usuários. A deconvolução Euler utiliza derivadas do campo magnético anômalo para estudar a geometria das fontes magnetométricas localizadas em subsuperfície. Neste trabalho foi empregado o índice 1 para a deconvolução de Euler com o intuito de realçar as estruturas lineares magnéticas da área.

MODELO DIGITAL DO TERRENO E BASE CARTOGRÁFICA COM A IDENTIFICAÇÃO DAS ESTAÇÕES GEOQUÍMICAS DE SEDIMENTOS DE CORRENTE

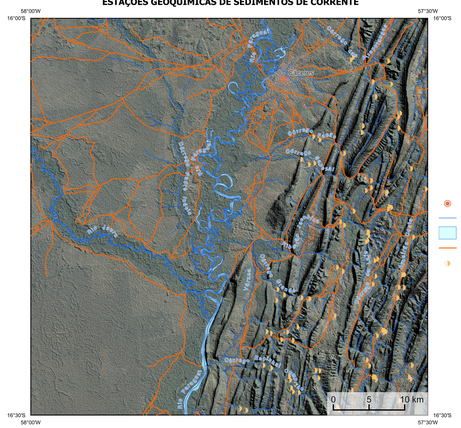

IMAGEM GOOGLE EARTH - NOVEMBRO 2022.

LOCALIZAÇÃO DA FOLHA

ARTICULAÇÃO DA FOLHA

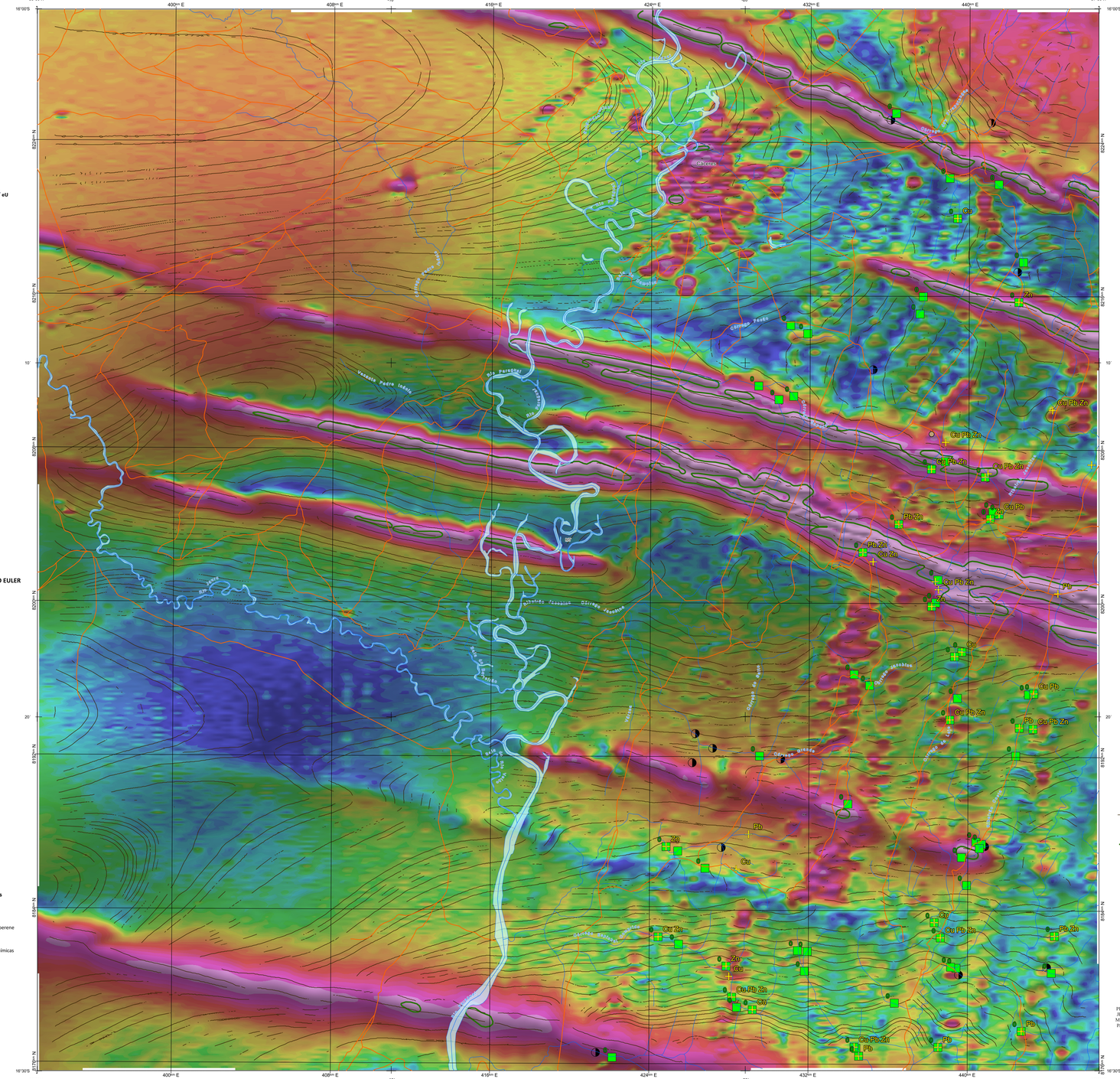
58°00'W
57°30'W
16°00'S
16°30'S
400⁰⁰⁰ E
408⁰⁰⁰ E
416⁰⁰⁰ E
424⁰⁰⁰ E
432⁰⁰⁰ E
440⁰⁰⁰ E
8324⁰⁰⁰ N
8316⁰⁰⁰ N
8308⁰⁰⁰ N
8300⁰⁰⁰ N
8292⁰⁰⁰ N
8284⁰⁰⁰ N
Cuiabá
Chapada dos Guimarães
Rio Paraguai
Rio Cuiabá
Rio Manso
Rio Coxipó
Rio Jangada
Rio Aricá-Mirim
Rio Aricá-Açu
Rio Piabanha
Rio Claro
Rio Casca
Rio Pari
Rio Pari-Mirim
Rio Pari-Açu
Rio Pari-Guaçu
Rio Pari-Miri
Rio Pari-Guaçu
Rio Pari-Miri
Rio Pari-Guaçu
Rio Pari-Miri